

# ΜΕΛΕΤΗ ΚΑΙ ΧΡΟΝΟΛΟΓΗΣΗ ΜΕ ΤΗ ΜΕΘΟΔΟ ΤΟΥ $^{14}\text{C}$ , ΑΣΒΕΣΤΟΚΟΝΙΑΜΑΤΩΝ ΕΝΤΟΙΧΙΩΝ ΨΗΦΙΔΩΤΩΝ

Μελίνα Κορόζη

Συντριπτήρια Αρχαιοτήτων

Εργαστήριο Αρχαιομετρίας, Ε.Κ.Ε.Φ.Ε. "Δημόκριτος"

Με την υψηλή ποιότητα και την προσεκτική επιλογή των υλικών, την τεχνική και την αισθητική του μεγαλοπρέπεια, το εντοίχιο ψηφιδωτό αποτελεί την πιο φιλόδοξη έκφραση της μνημειώδους ζωγραφικής του Βυζαντίου και γίνεται ένα από τα στοιχεία με τα οποία η Βυζαντινή Αυτοκρατορία ασκεί τη γοητεία της στους γειτονικούς λαούς.

Οι γνώσεις μας όμως για τα υλικά και τις τεχνικές κατασκευής των βυζαντινών εντοίχων ψηφιδωτών, καθώς δεν είναι δυνατόν να τεκμηριωθούν μέσα από γραπτές πηγές της εποχής – γιατί είλιχτα μόνο χωρία έχουν σωθεί σχετικά με τον τρόπο κατασκευής των γυαλίνων ψηφιδών –, βασίζονται στην άμεση μελέτη των μνημείων. Με αφορμή τις επεμβάσεις συντήρησης μνημείων, που συχνά είναι επειγούσες, πραγματοποιείται η μελέτη της κατασκευής, άλλες φορές εμπεριστατωμένη και πλήρης, τις περισσότερες όμως φορές ελλιπής.

Μέχρι σήμερα, δεν έχουν εφαρμοστεί φυσικοχημικές μέθοδοι για τη μελέτη των υλικών των εντοίχων ψηφιδωτών, από τα υλικά της κατασκευής του υποστρώματος έως και τα υλικά για την κατασκευή ψηφιδών. Με αυτό το σκεπτικό, η παρούσα έρευνα στοχεύει στη διεξοδική διερεύνηση των υλικών, με την εφαρμογή φυσικοχημικών και ραδιοχημικών μεθόδων εξέτασης, ανάλυσης και απόλυτης χρονολόγησης εντοίχων ψηφιδωτών.

Στην εργασία αυτή το ερευνητικό μέρος πραγματοποιήθηκε εξ ολοκλήρου στο Εργαστήριο Αρχαιομετρίας του Ινστιτούτου Επιστήμης Υλικών του Ε.Κ.Ε.Φ.Ε. "Δημόκριτος". Μελετήθηκαν δύο δείγματα εντοίχων ψηφιδωτών από τους ναούς της Ροτόντας και της Αχειροποίητης της Θεσσαλονίκης, στην Παλαιοχριστιανική και την Πρωτοβυζαντινή περίοδο, και δύο δείγματα της Μεσοβυζαντινής περιόδου, από τα Καθολικά των Μονών του Οσίου Λουκά Βοιωτίας και του Δαφνιού Αττικής.

## Φυσικοχημικές μέθοδοι διερεύνησης

**M**ε την πρώτη μέθοδο που χρησιμοποιήθηκε, γίνεται λεπτομερής εξέταση της επιφάνειας και της εσωτερικής δομής των αντικειμένων, η οποία παρέχει πληροφορίες που αφορούν τις τεχνικές κατασκευής, τη φθορά και τις τυχόν μεταγενέστερες επεμβάσεις. Χρησιμοποιήθηκε ηλεκτρονικό μικροσκόπιο σάρωσης (Scanning Electron Microscope, ή S.E.M.), το οποίο συνδυάζεται με ένα σύστημα μικρο-

νάλυσης EDAX (EDXA: Electron Dispersive X-Rays Analysis).

Με τη δεύτερη μέθοδο, που είναι αναλυτική, συλλέγονται πληροφορίες για τη φύση, τη δομή και τη λημκή συσταση των υλικών κατασκευής των αντικειμένων. Πρόκειται για την ευρείας χρήσεως μέθοδο της περιθλασμετρίας των ακτίνων X (X-Ray Diffraction, X.R.D.). Και οι δύο μέθοδοι είναι καταστρεπτικές, με την έννοια ότι απαιτούν δειγματοληψία από το αντικείμενο. Ωστόσο, το γεγονός ότι δεν υπάρχουν συνήθως

γραπτές μαρτυρίες σχετικά με την ιστορία των μνημείων και τη διακόσμησή τους, καθώς δύσκολη την υποστήριξη μιας ακριβούς χρονολόγησης των εντοίχιων ψηφιδωτών. Η οποία, τελικά, στριζεται αποκλειστικά σε στιλιστικά κριτήρια. Επάντιμη η πρόβλημα της χρονολόγησης είναι σημαντικό, γίνεται για πρώτη φορά στην Ελλάδα απόπειρα να χρονολογηθούν κονιάματα εντοίχων ψηφιδωτών, με τη μέθοδο του  $^{14}\text{C}$ , και με σκοπό να δοθεί απάντηση στα σχετικά ερωτήματα. Ο λόγος που επιλέχθηκε η συγκεκριμένη μέθοδος είναι γιατί βασίζεται σε κάποια πλεονεκτήματα, τα οποία διευκολύνουν την εξαγωγή επακριβών αποτελεσμάτων.

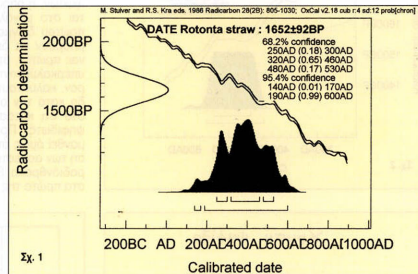
Τα δείγματα που χρονολογήθηκαν προέρχονται από τη Ροτόντα της Θεσσαλονίκης και η επιλογή τους έγινε με καθαρά τεχνικά κριτήρια. Τα ψηφιδωτά της Ροτόντας είναι χρονολογημένα χάρη σε γραπτές μαρτυρίες, και επιπλέον ήταν τα μόνα διάθεσμα σε ποσότητα ικανοποιητική για την εφαρμογή της μέθοδου.

Επίσημη, με την παρούσα μελέτη γνωστοποιείται ευρύτερα και η διανοτότητα εφαρμογής της χρονολόγησης, με την τεχνική του  $^{14}\text{C}$ , κονιάματα εντοίχων ψηφιδωτών.

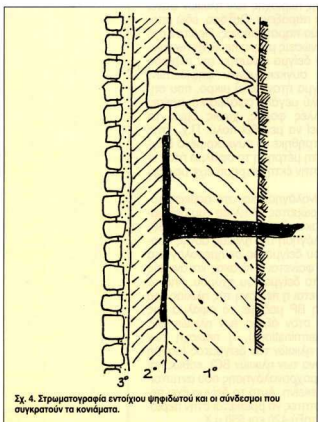
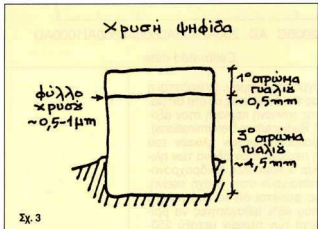
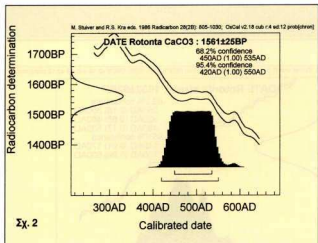
Τα ίλικά που χρονολογήθηκαν ήταν δύο ειδών: Τα άγυρα του 3ου στρώματος κονιάματος και το ασβετοκονιάμα του 2ου στρώματος. Πρέπει να σημειωθεί πως τα υπό μελέτη δείγματα απέστησαν ειδική χημική προεπεργασία, διαφορετική από εκείνη των συνθητισμένων αρχαιολογικών δειγμάτων, ειδικά όσον αφορά το ασβετοκονιάμα, ένα ίλικό του οποίου η χρονολόγηση με ανάθρακα βρίσκεται ακόμα σε πειραματικό στάδιο, επειδή πρόκειται για ανόργανο ίλικό και όχι οργανικό, όπως απαιτεί συνήθως η μέθοδος αυτή. Ο αυλογισμός βάσει των οποίου έγινε η χρονολόγηση των ασβετοκονιάματων σχετίζεται με τον τρόπο που στερεοποιούνται οι "ερεικές κονίες", δηλαδή κονίες που πήζουν και στηλραινούν με τη φυσικοχημική συμμετοχή του άερα. Οταν οι κονίες απορροφούν ατμοσφαιρικό αέρα εγκλωβίζουν ταυτόχρονα και διοξείδιο του άνθρακα, με αποτέλεσμα να εγκλωβίζεται και ραδιενέργεις άνθρακα. Η χρονολόγηση βασίζεται ακριβώς στη μέτρηση αυτού του εγκλωβισμένου ραδιενέργου άνθρακα, ο οποίος συμμετέχει στη σύσταση του  $\text{CO}_2$ , από τον άερα που είχε δεσμευθεί στο κονίαμα.

## Αποτελέσματα και συμπεράσματα: Ροτόντα Θεσσαλονίκης

Κατ' αρχήν έγινε χρονολόγηση του άχυρου του 3ου στρώματος του κονιάματος με τη μέθοδο του  $^{14}\text{C}$ . Το δείγμα ήταν μικρό σε ποσότητα, με αποτέλεσμα να προκύπτει σχετικά μεγάλο σφάλμα. Η ίλικα του δείγματος σε "έπανθρακα" είναι  $1652 \pm 92$  χρόνια BP (Before Present). Μετά από βαθμολόγηση της ίλικιας αυτής, προκύπτει η ίλικια του δείγματος σε ημερολογιακά έπτι. Στο σχήμα 1 φαίνεται ο πίνακας κατανομής πιθανοτήτων για το δείγμα του άχυρου. Από το ίδιο σχήμα 2 φαίνεται η περιοχή της ίλικιας του δείγματος σε έπανθρακα μαζί με το σφάλμα της (κόκκινη περιοχή στον άξονα των ίλικιων BP, Radiocarbon Determinations), η περιοχή των βαθμολογημένων ίλικιων του δείγματος (μάυρη περιοχή στον άξονα των ίλικιων BC), καθώς και οι καμπύλες διενδροχρονολόγησης που αντιστοιχούν στην εποχή εκείνη. Αυτό το δείγμα έχει περιπού 95% πιθανότητες να βρίσκεται στην περιοχή των ίλικιων μεταξύ 250-530, και κυρίως μεταξύ του 320 και του 460. Ήτος το έργο της περιοχής των ίλικιων φανεί λιγό μεγάλο ή και παράξενο. Ωστόσο, εδώ μπορούν να γίνουν δύο παρατηρήσεις. Πρώτον ότι, σύμφωνα με τις γνώσεις μας, η περιοχή των ίλικιων που δίνει το δείγμα καλύπτει την περίοδο κατασκευής των συγκεκριμένων ψηφιδωτών. Δεύτερον, το δείγμα ήταν πολύ μικρό, που σημαίνει ότι έχει πολύ μεγάλο σφάλμα και πρέπει να μετρήθει πολλές φορές, χωρίς όμως το σφάλμα να μπορεί να μειωθεί πολύ. Π.χ., στις έξι φορές που μετρήθηκε το συγκεκριμένο δείγμα, κατά την πρώτη μέτρηση το σφάλμα ήταν  $\pm 246$  χρόνια, ενώ στην εκτη μέτρηση είχε μειωθεί στα  $\pm 92$  χρόνια.



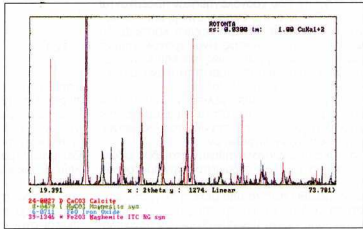
νοτίτων για το δείγμα του άχυρου. Διακρίνεται η περιοχή της ίλικιας του δείγματος σε έπανθρακα μαζί με το σφάλμα της (κόκκινη περιοχή στον άξονα των ίλικιων BP, Radiocarbon Determinations), η περιοχή των βαθμολογημένων ίλικιων του δείγματος (μάυρη περιοχή στον άξονα των ίλικιων BC), καθώς και οι καμπύλες διενδροχρονολόγησης που αντιστοιχούν στην εποχή εκείνη. Αυτό το δείγμα έχει περιπού 95% πιθανότητες να βρίσκεται στην περιοχή των ίλικιων μεταξύ 420 και 550 μ.Χ.



Συγκρίνοντας τις βαθμολογημένες ηλικίες των δύο δειγμάτων, φαίνεται ότι υπάρχει μια μικρή διαφορά στο εύρος των ηλικιών, η οποία όμως οφείλεται στο μεγάλο σφάλμα του πρώτου δειγμάτος. Αυτά που μπορούν να διαπιστωθούν είναι: πρώτον, ότι οι δύο ηλικίες υπερκαλύπτονται, και δεύτερον, καλύπτουν και την περίοδο κατά την οποία είναι γνωστό ότι κατασκευάστηκαν τα ψηφιδωτά. Πρέπει να επιστρέψουμε όμως ότι η χρονολόγηση των ασβεστοκινάματων με ραδιάνθρακα βρίσκεται ακόμα στα πρώτα της βήματα.

### Αχειροποίητος Θεσσαλονίκης

Στο 1ο στρώμα κονίαματος εφαρμόστηκε X.R.D. Οι ενώσεις που αναγνωρίσθηκαν, εκτός από το ανθρακικό ασβέστιο, περιέχουν και στοιχεία όπως το Mg και ο Fe. Εδώ,



Σχ. 5. Το φάσμα της περιθλασμετρίας ακτίνων X από το δείγμα ασβεστοκινάματος του ναού της Ροτόντας.

Κατόπιν εφαρμόστηκε και X.R.D. στο κονίαμα του 2ου στρώματος. Οι ενώσεις (ή "φάσεις") που βρέθηκαν, εκτός από το ανθρακικό ασβέστιο, περιέχουν και στοιχεία όπως το Mg και ο Fe. Πρέπει να σημειωθεί ότι η ανίχνευση των κορυφών στο X.R.D. είναι κυρίως ποιοτική και όχι ποσοτική. Το εύρος, το ύψος και ο αριθμός των κορυφών δεν είναι ενδεικτικά της ποσότητας του αντίστοιχου υλικού στο δείγμα, με βάση το υπολογιστικό πρόγραμμα που χρησιμοποιήθηκε. Ωστόσο συνάγεται εμφέσωση ότι η ποσότητα του ανθρακικού ασβεστίου στο δείγμα υπερτερεί έναντι των άλλων ενώσεων, γεγονός βέβαια που αναμενόνταν.

Τέλος, έγινε εξέταση με το S.E.M. και στο αποτύπωμα της ψηφιδώς του πρώτου στρώματος. Στο φάσμα του EDAX που καταγράφηκε εμφανίστηκαν οι χαρακτηριστικές κορυφές του Ca, του Si και του Mg. Η κορυφή του πυριτίου μπορεί εύκολα να εξηγηθεί, αλληλείται ωμή με την πρώτη κατασκευή της ψηφιδώτας.

**Συγκριτική μελέτη των δειγμάτων από τους ναούς της Ροτόντας**

## και της Αχειροποιήτου της Παλαιοχριστιανικής και της Πρωτοβυζαντί<sup>νης</sup> περιόδου

Καθώς φαίνεται στον πίνακα 1, σε γενικές γραμμές η τεχνοτροπία της κατασκευής των δύο κονιάματων είναι περίπου η ίδια, υπάρχουν όμως και μερικές σημαντικές διαφορές. Εν πρώτοι, το πιο σημαντικό είναι ότι τα δύο κονιάματα διαφέρουν ως προς τον αριθμό των στρωμάτων. Στη Ροτόντα παρατηρούνται τρία στρώματα

νιάματος την εποχή εκείνη –, αλλά και διαφορά στην ποσότητά του στα δύο δείγματα. Στη Ροτόντα έχει χρησιμοποιηθεί μεγάλη ποσότητα όχυρου, αλλά και κομμάτια μικρών διαστάσεων και πολύ λεπτά. Στην Αχειροποιήτο όμως έχει χρησιμοποιηθεί λιγότερο όχυρο, αλλά τα κομμάτια είναι χοντροκομένα και παχιά. Γεγονός που σημαίνει πως ο κάθε ψηφιδωτός της είναι σημαντικά διαφορετική από τον άλλον, διατάσσοντας σημαντικά διαφορετική από την Ροτόντα περιόδου, και ισάς να μην υπήρχε μια συγκεκριμένη συνταγή, αλλά η

πιας η κατασκευή των κονιάματων γινόταν χωρίς την προσθήκη χαλαζιάς ή άμμου ή άλλου πυριτικού ορυκτού, ως αδρανούς υλικού. Το γεγονός αυτό είναι και τη μεγάλη ποσότητα όχυρου που υπάρχει στο κονίαμα, το οποίο, εκτός του ότι δίνει όγκο στο κονίαμα, παιζει και το ρόλο του αδρανούς υλικού. Η τεχνοτροπία αυτή των συγκεκριμένων ψηφιδωτών της εποχής αυτής είναι σημαντικά διαφορετική από εκείνη των ψηφιδωτών της Μεσοβυζαντίνης περιόδου, ώστε εξηγείται και παρακάτω.

Πίνακας 1. Συγκριτική μελέτη δείγμάτων από τη Ροτόντα και την Αχειροποιήτο, της Παλαιοχριστιανικής και Πρωτοβυζαντίνης περιόδου.

Πίνακας 1		POTONTA	ΑΧΕΙΡΟΠΟΙΗΤΟ	Πίνακας 2		
				OΣΙΟΣ ΛΟΥΚΑΣ	ΔΑΦΝΗ	
Σο σημείο	XRD	πλάγιος: 1,5 - 1,9 cm σύσταση: -αερίστης - μεγάλη ποσότητα όχυρου μήκους 0,5 - 7 mm. - πετρώλιας λευκόφασο, λευκό και γκρι χρώματος, ύψη στρωμάτων 1 - 3 mm.	πλάγιος: 2 - 2,5 cm σύσταση: -αερίστης - λίγο αλιά με μεγάλα κομμάτια όχυρο μήκους 0,5 - 2 cm και πάχυσις μέχρι 0,4 cm.	Σο σημείο	χρήμα: οκάριτο υποτίτρινο πάγκος: 1,8 - 2 cm σύσταση: - αερίστης - μεγάλη ποσότητα όχυρου μήκους 1-8 mm, αποθραύσουσα σπόρου - πετρώλιας λευκόφασο, λευκό και γκρι χρώματος, διαμέτρου 1-6 mm. - μαρροκοτά διασποράντα κεραματίδια λευκού	χρήμα: ανοιχτό υποτίτρινο πάγκος? σύσταση: - αερίστης - μεγάλη ποσότητα όχυρου μήκους 0,5 - 8 mm. - πετρώλιας λευκόφασο, λευκό και γκρι χρώματος διαμέτρου 1 - 5 mm. - μαρροκοτά διασποράντα κεραματίδια λευκού
	SEM/EDAX	-	-		-	
	μC	χρονολόγηση δρύφου 1562 ± 29 BP	-		-	
Σο σημείο	XRD	πλάγιος: 1 - 1,5 cm σύσταση: -αερίστης - πετρώλιας γκρι και λευκό χρώματος διαμέτρου 0,5 mm από 1 mm.	επίρριμα που αποτελεί τουπιάδρανα και στρώμα ψηφιδωτής πλάγιος: 1,3 - 1,6 cm σύσταση: -αερίστης - μεγάλη ποσότητα όχυρου μήκους 0,1 - 0,3 cm. - μερικοποτά διασποράντα κεραματίδια λευκού	Σο σημείο	χρήμα: οκάριτο υποτίτρινο πάγκος: 1,8 - 2 cm σύσταση: - αερίστης - μεγάλη ποσότητα όχυρου μήκους 0,5 - 8 mm. - πετρώλιας λευκόφασο, λευκό και γκρι χρώματος διαμέτρου 1 - 5 mm. - μαρροκοτά διασποράντα κεραματίδια λευκού	χρήμα: ανοιχτό υποτίτρινο πάγκος? σύσταση: - αερίστης - μεγάλη ποσότητα όχυρου μήκους 0,5 - 8 mm. - πετρώλιας λευκόφασο, λευκό και γκρι χρώματος διαμέτρου 1 - 5 mm. - μαρροκοτά διασποράντα κεραματίδια λευκού
	SEM/EDAX	Dcalcite CaCO <sub>3</sub> Magnesite zyn. MgCO <sub>3</sub> Iron oxide FeO Magnetite ITG syn. Fe <sub>3</sub> O <sub>4</sub>	Dcalcite CaCO <sub>3</sub> Magnesite syn. MgCO <sub>3</sub> Iron oxide FeO Magnetite ITG RG syn. Fe <sub>3</sub> O <sub>4</sub>		-	
	μC	CaKa (3,70 KeV) MgKa (1,58 KeV)	CaKa (3,70 KeV) MgKa (1,58 KeV)		-	
Ιο σημείο	XRD	χρονολόγηση αεριστοκανάματος 1561 ± 29 BP	-	Ιο σημείο	χρήμα: υποτίτρινο πάγκος: 1,1 - 1,5 cm σύσταση: - αερίστης - πετρώλιας λευκόφασος διαμέτρου από 1 mm. - μαρροκοτά όχυρου	χρήμα: κοκκινιστό πάγκος: 0,8 - 1 cm σύσταση: - αερίστης - κομμάτια λευκού και κεραμοδόκου
	SEM/EDAX	-	-		Dcalcite CaCO <sub>3</sub> Quartz syn. SiO <sub>2</sub> Iron oxide FeO Magnetite ITG RG syn. Fe <sub>3</sub> O <sub>4</sub>	Dcalcite CaCO <sub>3</sub> Quartz syn. SiO <sub>2</sub> Dolomite CaMg(CO <sub>3</sub> ) <sub>2</sub> - Anorthoclase disordered heated felsic glass - Calcium Aluminium Iron Silicate CaSi <sub>2</sub> (FeAl)10O <sub>6</sub>
	μC	-	-		-	-
Αυτούσιαν Φηρήδων	XRD	χρώματος ελαφρώς κοκκινιστό, διασποράς: περίπου τετράγωνη	Δύο αποτυπώματα όχυρων: το ένα είναι χρώματος απόρριψης, με διαφορετικά περιπολικά τεράστια και τρίγωνα. Το δεύτερο είναι φεγγερό προς ώρα, με διασπόρικα φραγώνες	Ιο σημείο	χρήμα: δεν έπειρνε το 1 mm σύσταση: αερίστης	χρήμα: δεν έπειρνε το 1 mm σύσταση: αερίστης
	SEM/EDAX	CaKa (3,70 KeV) MgKa (1,58 KeV) SiKa (1,74 KeV) FeKa (6,39 KeV)	CaKa (3,70 KeV) MgKa (1,58 KeV) SiKa (1,74 KeV)		-	-
	μC	-	-		CaKa (3,70 KeV)	-

κονιάματος, κλασική περίπτωση της κατασκευής υποστρωμάτων εντοιχών ψηφιδωτών. Ενώ στην Αχειροποιήτο τα στρώματα κονιάματος είναι δύο, γενούς που δεν είναι μεν άνυντο στην κατασκευή υποστρωμάτων, συναντάται ίσως σπάνια. Διαπιστώνται ακόμη και μαρπάνη όχυρου –κύριου συστατικού για την κατασκευή του κο-

ποσότητα να ήταν κάθε φορά συνάρτηση της μεθόδου του εκάστοτε ψηφιδωτή και της ποιότητας του έργου. Η σύσταση του κονιάματος όμως διαπιστώνται από το X.R.D., πως είναι ακριβώς η ίδια. Αλλά εκείνοι που κανείς εντύπωση είναι η έλευση του στοιχείου του πυριτίου στα αδρανή υλικά, που σημαίνει

το δείγμα που πάρθηκε από τον Όσιο Λουκά ήταν ένας πυρίνας ("καρότο") εντοιχίου ψηφιδωτών με τρία στρώματα κονιάματος. Στο δείγμα υπήρχαν επίσης και υαλοψηφίδες χρυσές και μία μαύρη. Στο 2ο στρώμα κονιάματος εφαρμόστηκε X.R.D. Οι ενώσεις που

Πίνακας 2. Συγκριτική μελέτη δείγμάτων από τη Μονή Όσιο Λουκά και τη Μονή Δαφνίου, της Μεσοβυζαντίνης περιόδου.

βρέθηκαν, εκτός από το ανθρακικό ασβεστιού, περίεχουν και στοιχεία όπως το Si και ο Fe. Επίσης στο 2ο στρώμα έγινε και ανάλυση με το S.E.M. Στο φάσμα του EDAX εμφανίστηκαν οι χαρακτηριστικές κορυφές του Ca, του Si και του Mg.

Έχουν όμως ενδιαφέρονται και οι λεπτομέρειες που παρατηρήθηκαν στις υαλοψηφίδες. Τα πάχη των στρωμάτων του γυαλιού κυμαίνονται μεταξύ 4,5 mm και 0,5 mm περίπου για το 3ο και το 1ο στρώμα γυαλιού αντίστοιχα, ενώ το πάχος του φύλλου του χρυσού δεν ξεπερνά το 1 mm. (Ο τρόπος κατασκευής των χρυσών ψηφιδών φαίνεται στο σχήμα 3.)

Ενδιαφέροντας επίσης είναι το γεγονός ότι στα σημεία επαφής της υαλοψηφίδας με το κονίαμα παραπροντάνται ίχνη διάβρωσης του γυαλιού, όπου εμφανίζεται και το φαινόμενο του ιριδισμού.

## Δαφνί Αττικής

Τα δείγματα που πάρθηκαν από το Δαφνί ήταν δύο. Το πρώτο δείγμα προέρχεται από το υπόστρωμα του 11ου αι. Το δεύτερο δείγμα προέρχεται από μεταγενέστερη επέμβαση, με δύο στρώματα.

Στο μεταγενέστερο δείγμα εφαρμόστηκε X.R.D. Οι φάσεις που βρέθηκαν, εκτός από το ανθρακικό ασβεστού, περίεχουν και στοιχεία όπως το Si, το Mg, το Na, το Al και ο Fe, τα οποία βέβαια οφείλονται στα πρόσμικα άραντή του κονίαμάτος.

## Συγκριτική μελέτη των δειγμάτων από τα Καθολικά των μονών του Όσιου Λουκά και του Δαφνίου της Μεσοβυζαντίνης περιόδου

Καθώς φαίνεται στον πίνακα 2, σε γενικές γραμμές η τεχνοτροπία της κατασκευής των στρωμάτων των δύο κονίαμάτων είναι περίπου ίδια, αλλά υπάρχουν και μερικές σημαντικές διαφορές. Από χώρας, από τη Μονή Δαφνίου δεν ήταν διαθέσιμα πλήρη δείγματα, με όλα τα στρώματα κονίαμάτος, και γ' αυτό η συγκριτική μελέτη έγινε μόνο για τα στρώματα που υπήρχαν στα δείγματα που μελετήθηκαν.

Όσον αφορά τα κονίαμάτα του 3ου στρώματος από την εντόξιμη ψηφιδωτή της Μονής του Όσιου Λουκά και της Μονής Δαφνίου, φαίνονται εκ πρώτης όψεως όμοια ως προς τα συστατικά τους. Καταφέριν, μπορεί να επιστραμβεί η παρουσία του χύμου ως κύριου συστατικού της κατασκευής του κονίαμάτος για την εποχή στην οποία αναφέρεται η μελέτη, με τη χαρακτηριστική διαφορά ότι η ποσότητά του στα κονίαμάτα είναι σαφώς μικρότερη από εκείνη των δειγμάτων της Θεσσαλονίκης, τα οποία ανήκουν σε περίοδο πριν από την Εικονομαχία. Το γεγονός αυτό σημαίνει πως εδώ το χύμο δεν παίρει πλέον σημαντικό ρόλο στο κονίαμα, σηλαθή δινεί όντο στο κονίαμα, αλλά δεν αντικαθιστά τα άδραντα υλικά. Αυτό μπορούμε να το διαπιστώσουμε και παρακάτω, από την ύπαρξη πυριτ-

κών στοιχείων στο X.R.D., τα οποία υποδηλώνουν ότι έχει χρησιμοποιηθεί χαλαζική άμμος ή άλλες πυριτικές ενώσεις, ως άδρανη υλική του κονίαμάτος.

## Γενικά συμπεράσματα και συγκριτική μελέτη των δειγμάτων των δύο βυζαντινών περιόδων

Σχετικά με τα κονίαμάτα των δύο αυτών περιόδων, πριν και μετά την Εικονομαχία, παραπέμπονται μια εμφανής διαφορά στην τεχνοτροπία.

Στην πρώιμη από την Εικονομαχία περίοδο, είναι φανερό ότι η τεχνοτροπία κατασκευής των κονίαμάτων των εντόξιμων ψηφιδωτών περνά μεταβατικό ή και πειραματικό στάδιο, που απόκειται κυρίως στην κρίση του ψηφιοθέτη ή του εργαστηρίου που τα κατασκευάζει.

Αντίθετα, κατά τη Μεσοβυζαντίνη περίοδο, στη διάρκεια της οποίας η διαδόσιμητη των γανωμένων ψηφιδωτά φθάνει στο απόγειό της, τη τεχνοτροπία είναι λεπτή και επιμελημένη στο έπακρο, διαπιστώνεται δε μια λεπτομερής συνταγή κατασκευής, η οποία ακολουθείται από τους περισσότερους ψηφιοθέτες σε ολόκληρη την Ελλάδα.

## Ευχαριστίες

Οα ήθελα να ευχαριστήσω θεραμένους: τον κ. Δημήτρη Χρυσούπουλο, Συντριπτή ψηφιδωτών και Επικουρού Καθηγητή του Τμήματος Σ.Α.Ε.Τ. των Τ.Ε.Ι. Αθηνών, τον Δρ. Γιάννη Μωάνη, Προϊστάμενο Εργαστηρίου Αρχαιοτήτων στα Ινστιτούτα Επιστημών Υλικών του Ε.Κ.Ε.Φ.Ε. «Δημόκριτος», τον Δρα. Βασίλη Κυλιάρη, Ερευνητή Εργαστηρίου Αρχαιομετρίας, των Δρα. Νέλλη Φακορέλλη, Συνεργάτη του Ιδιού Αρχαιοτητών και τον κ. Κλεόπαντα Σωτηρίη, μεταπτυχιακούς υποτρόφους του Εργ. Αρχαιοτητών, για τη βοήθεια και τη συμβολή τους στη μηχανήση της εργασίας αυτής.

## The Lime Mortar of Wall Mosaics: Study and Dating Through the $^{14}\text{C}$ Method

Melina Korozi

This article presents a thorough study and investigation of the lime mortar, which serves as bed for the wall mosaics, through the application of physico-chemical methods.

The methods employed are three: a, the XRD, which examines the mortar surface, b, the SEM, which analyses the chemical components of the materials and c, the  $^{14}\text{C}$ , a method of absolute dating. The samples for this study come on the one hand from two churches in Thessaloniki, dating in the Early Christian and Early Byzantine period, and on the other from the katholikon of Hosios Loukas Monastery in Boeotia and that of Daphni Monastery in Attica, both of the Middle Byzantine period.

The conclusions of the study are the following: First, the striking difference in craftsmanship and technique of the mosaic bed between the earlier and later period is more than obvious.

Second, the application of the  $^{14}\text{C}$  method leads to a precise dating of the lime mortar and thus the dating problems concerning Byzantine monuments, which have been decorated with wall mosaics in more than one phase, can be definitely solved.

## Βιβλιογραφία

- Aitken M.J. (1969). "Radiocarbon and  $\delta^{13}\text{C}$  in Science-based dating in Archaeology", Longman, London and New York, σελ. 119.
- Bader M.S. and Walton A. (1970). "Radiocarbon dating of mortars", Nature, vol. 225, σελ. 937-938.
- De Vries H. L. and Daresen G. W. (1953). "Radiocarbon dating by a proportional counter filled with carbon dioxide", Physica XIX, σελ. 987-1003.
- Goodhew P. J. and Humphreys F. J. (1988). "Electron Microscopy and Analysis", Taylor and Francis, London, N.Y., Philadelphia (1st ed., 1975).
- Zoumboulakis N. (1992). "Το πρόβλημα της χρονολόγησης της αρχαιοελληνικής τέχνης στην αρχαιότητα της τεχνοτροπίας", Συμποσίου Αρχαιοτήτων, Σύνθετη Αρχαιολογίας, Αρχαιολογίας και Αρχαιογένετος", 26-28 Ιανουαρίου 1990, Αθήνα.
- Μονίκης Γ. (1981). "Μέθοδος χρονολόγησης υλικών", Ανθρωπολογία, 2, σελ. 75-81.
- Mook W.G. and Streelman J.H. (1976). "Physical and chemical aspects of radiocarbon dating", PACT B-II, 1, σελ. 31-35.
- Van Straaten M., Dupas M., and Dauchot-Dehon M. (1980). "Radiocarbon dating of old mortars", PACT B-II, 7, σελ. 339-343.
- Willard H., Morris L. Jr., Dean J. and Sette F. Jr. (1981). "Instrument methods of analysis" (6th ed.), Wadsworth Publishing Company, Belmont California.
- Φωτοράλδης Γ. (1995). "Χρυσούπηγοι όργανοι αύλακον με ραδιομέτρια. Σημειώσεις για το μιθήμα Φ.Ρ.Τ. III του Τμήματος Σ.Α.Ε.Τ. των Τ.Ε.Ι. Αθηνών".